

I - 289

スタークラックの動的進展に関する研究

岡山大学大学院 ○学生員 鍋野博章
 岡山大学工学部 正会員 廣瀬壮一

1. はじめに

現在の発破工法の課題の一つに周辺環境への影響や、掘削の効率性、経済性を考慮した発破制御の問題がある。具体的には、爆破孔の周辺に切り欠きやディスクを付けてクラックの発生や進展を制御する方法があるが、その理論的裏付けは十分であるとは言えない。このような背景をもとに、本研究は円孔から放射状にでた複数のクラック、いわゆるスタークラックの動的挙動を数値的に明らかにしたものである。

2. 解析法

図1に示すような二次元平面ひずみ状態にある無限弾性体内の円孔Sから放射状に伸びたスタークラック S_c を考える。円孔から放射状に伸びるクラックの本数はnとし、クラックの先端の位置は円孔中心からの距離Rにより与えられる。円孔の半径はaで、圧力 $P(t)$ が内壁に垂直に作用するものとする。円孔に作用する圧波形は \sin^4 の関数の半周期を使い以後0とし、時刻($C_T t/a$)=4でピークに達する様にした。なお、発破に伴って発生するガス圧はクラック面には影響しないと仮定し、クラック面上では常に0とした。解析には時間域境界要素法を用い、応力や変位等の諸量は時間ステップごとに計算していく方法を取る。用いたパラメータは、要素長さ $\frac{a}{10}$ 以下、時間刻み幅 $\frac{c_T \Delta t}{a} = 0.15$ (c_T :S波速度)、ポアソン比は0.25とし、クラック先端における応力拡大係数 K_I の経時変化を求めた。

3. 解析結果

以下で、クラックの長さ、本数、自由表面がクラックの進展にどの様な影響を与えるかについて考察する。
 a) 長さの異なるクラックの影響1(図2、3):1本のクラックが長くのびた場合、その影響が他のクラックにどのように表れるかを見るために1本のクラックが他より長い場合のモデルを考えた。クラックの長さは、Aを $R=2a$ 、 $3a$ と変化させ、他の7本は $R=0.5a$ とする。 \circ 点Aでの K_I 値は他の点での K_I 値よりも大きいことから、長いクラックは他の短いクラックよりも進展しやすい。 \circ クラックAの隣のクラックBはAの影響を受けているため、 K_I の値は他のクラックよりかなり小さく表れた。 \circ C、D、Eのクラックでは、あまりAからの影響は受けないものと考えられる。

b) 長さの異なるクラックの影響2(図4~6):クラックの長さが2種類のものを交互に配置し、クラック本数が4本、6本、8本の場合について解析した。 \circ 長いクラックBの K_I のピーク値は、短いクラックAのそれよりも大きくなっている。これは長いクラックの方が破壊しやすいことを示す。 \circ クラック本数が6本、8本と増えたに従い、B点の K_I のピーク値がA点のそれよりかなり大きくなっている。クラックの本数が多いほど長いクラックの破壊が進展しやすいことを示している。

c) 自由表面の影響(図8、9):図7のような自由境界近傍にあるスタークラックを考え、 $R=1.5a$ 、 $n=8$ とし、 $l=3a$ 、 $4a$ の場合について解析した。 \circ 点Bでの K_I の値が最も大きくなかった。これは斜め方向への破壊が最も進みやすいことを示していると考えられる。 \circ クラックB、C、D、Eについては、 K_I の値がまず正のピークを示してから減少していくが、クラックAについては、ほとんど正の値を示すことなく負の値に転じる。これは、クラックA近傍の固体部分が全体的に自由表面の方へ押し出されてクラックAが閉口するためと考えられる。 \circ 自由表面までの距離 l が大きくなると、各クラック先端での K_I 値のばらつきが小さくなる。すなわち、無限弾性体中のスタークラックの場合に近づいていくと考えられる。

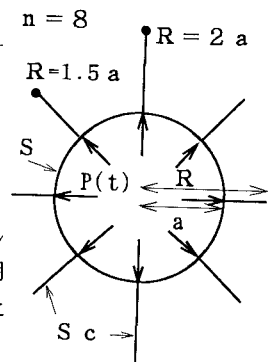


図 1

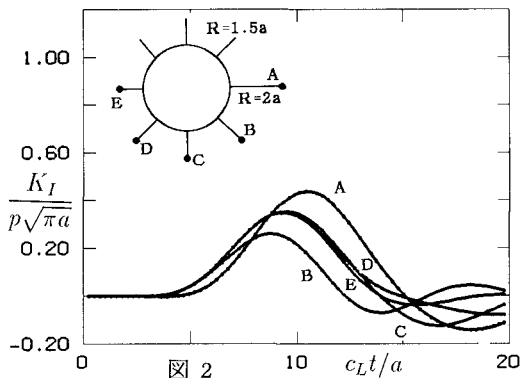


図 2

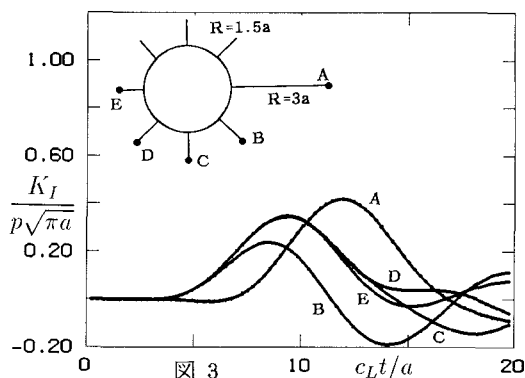


図 3

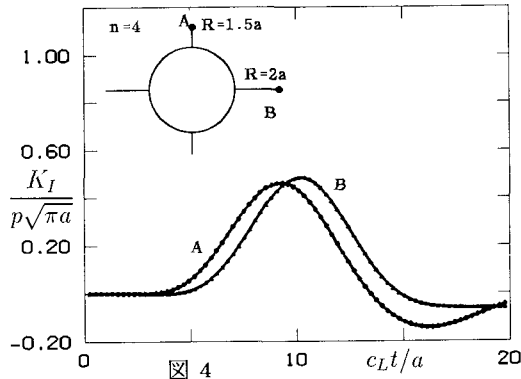


図 4

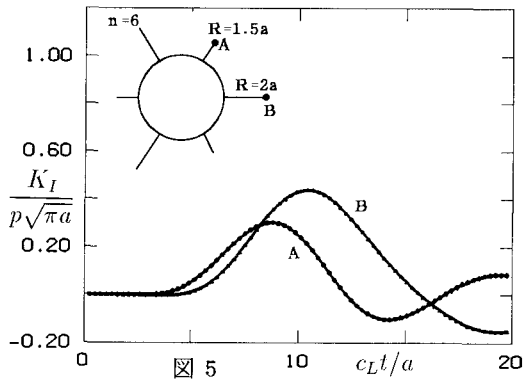


図 5

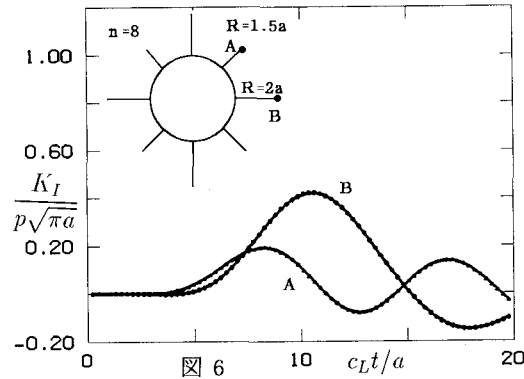


図 6

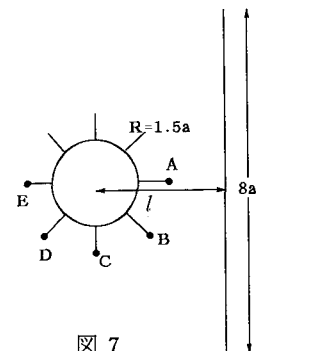


図 7

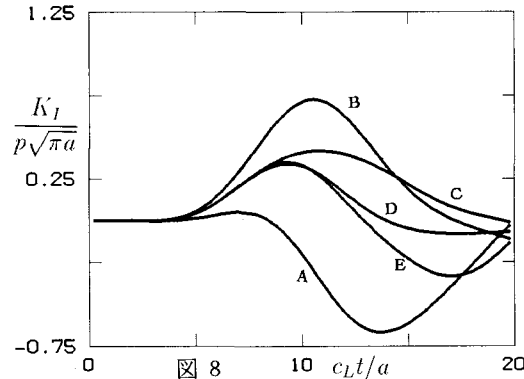


図 8

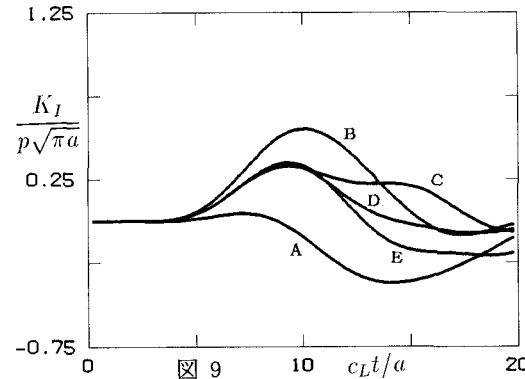


図 9